

Übung zu

Grundgebiete der Elektrotechnik III

WS 09/10 - Blatt 5

Aufgabe 28

Gegeben sind zwei in z -Richtung unendlich ausgedehnte, parallele Leiter mit Abstand $2a$, die von den Strömen I_1 bzw. I_2 durchflossen werden (Bild 1). Ausgehend von der in der Vorlesung hergeleiteten Gesamtfeldstärke $\vec{H}_{\text{ges}}(x, y)$

ist eine parametrische Darstellung der Feldlinien von \vec{H}_{ges} für $I_1 = I_2 > 0$ bzw. $I_1 = -I_2 > 0$ gesucht. Gehen Sie dabei folgendermaßen vor:

a) Zeigen Sie, dass entlang einer Feldlinie von $\vec{H}_{\text{ges}}(x, y)$ gilt:

$$H_x \cdot dy = H_y \cdot dx.$$

b) Berechnen Sie dann mithilfe einer unbestimmten Integration $\int H_x \cdot dy = \int H_y \cdot dx$ die parametrische Darstellung der Feldlinien.

HINWEIS: $\int \frac{f'(x)}{f(x)} dx = \ln|f(x)|$

c) Welche Dualitäten zum elektrostatischen Feld ergeben sich?

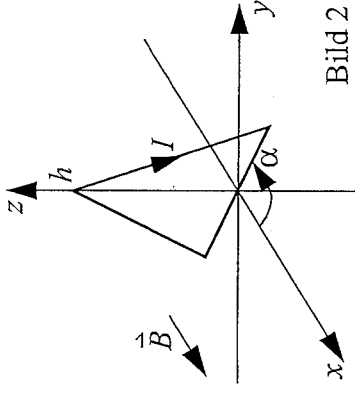
Aufgabe 29

Eine dreieckige, gleichschenklige Leiterschleife der Höhe h und Breite b ist drehbar um die z -Achse gelagert (Bild 2). Sie wird vom Strom I durchflossen und befindet sich in einem homogenen Magnetfeld $\vec{B} = B_0 \cdot \vec{e}_x$.

a) Welches mechanische Drehmoment $\vec{L} = L_z \cdot \vec{e}_z$ wirkt auf die Schleife?

b) Für welche Winkel α_1, α_2 ist das Drehmoment Null? In welcher Lage stellt sich ein stabiles Gleichgewicht ein?

Im Folgenden ist das Magnetfeld ortsabhängig mit $\vec{B} = B_0 \cdot (1 + z/h) \cdot \vec{e}_x$. Gesucht wird wiederum das Drehmoment L_z um die z -Achse.



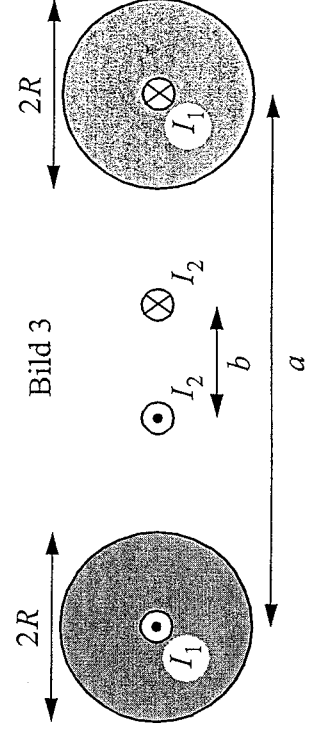
c) Zunächst soll der Beitrag dL_z eines infinitesimalen Leiterstücks $d\vec{s}$ berechnet werden. Welche Komponente (in Zylinderkoordinaten) der Kraft $d\vec{F} = I \cdot d\vec{s} \times \vec{B}$ trägt zu dL_z bei? Aus welchen Komponenten von $d\vec{F}$ und \vec{B} ergibt sich diese Komponente von $d\vec{F}$?

d) Berechnen Sie die gesuchte Komponente von $d\vec{F}$ und daraus dL_z .

e) Begründen Sie, warum das in der $x-y$ -Ebene liegende Schleifensegment nicht zu L_z beiträgt. Bestimmen Sie L_z durch Integration über z .

Aufgabe 30

Die beiden äußeren Leiter der abgebildeten Zweidrahtleitung haben den Radius R und den Achsenabstand a . Sie dienen als Hin- und Rückleiter für den Strom I_1 . In der Mitte der äußeren Zweidrahtleitung befindet sich eine weitere Zweidrahtleitung mit sehr dünnen Leitern im Abstand b und dem Strom I_2 (Bild 3).



a) Bestimmen Sie die magnetische Feldstärke \vec{H}_1 , die die äußere Zweidrahtleitung zwischen den beiden inneren Leitern erzeugt.

b) Berechnen Sie die längenbezogene äußere Gegeninduktivität L'_{21} der Gesamtanordnung. Bestimmen Sie daraus L'_{12} .

Aufgabe 31

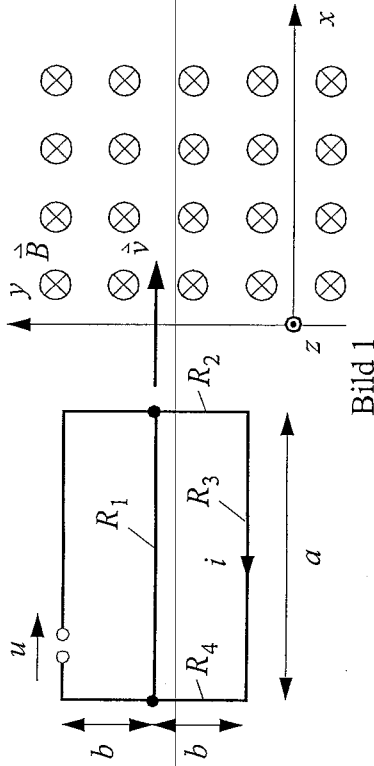


Bild 1

Eine Drahtschleife besteht aus zwei Maschen und bewegt sich mit der Geschwindigkeit \vec{v} in das Magnetfeld \vec{B} , das sich über die gesamte rechte Halbebene ($x \geq 0$) erstreckt (Bild 1). Zum Zeitpunkt $t = 0$ tritt die rechte Kante der Schleife in das Feld ein. Das vom Strom i verursachte Magnetfeld ist zu vernachlässigen.

- Wie groß ist der Strom i für $a = 30\text{cm}$, $b = 10\text{cm}$, $v = 1\text{ms}^{-1}$, $B = 1\text{T}$ und $R_1 = R_2 = R_3 = R_4 = 5\Omega$?
- Was ergibt sich damit für die Spannung u ?
- Skizzieren Sie $i(t)$ und $u(t)$ im Zeitbereich $0 \leq t \leq 0,5\text{s}$.
- Welcher Strom $i(t)$ ergibt sich, falls $B(t) = 1\text{T} \cdot e^{-t/\tau}$ mit $\tau = 0,1\text{s}$?

Aufgabe 32

Gegeben ist ein unendlich langes Koaxialkabel, dessen Innenleiter mit Radius R_1 den Strom I führt. Der Außenleiter (R_2, R_3) dient als Rückleiter (Bild 2).

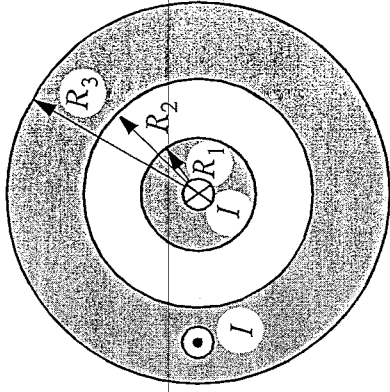


Bild 2

- Berechnen Sie die längenbezogene innere und äußere Induktivität. Verwenden Sie dabei zunächst die Definition der Induktivität über die Flussverknüpfung.

- Kontrollieren Sie Ihr Ergebnis mit der Definition der Induktivität über die Energie des magnetischen Feldes.

Aufgabe 33

Eine schlanke Zylinderspule der Länge l ist in zwei Lagen mit je N Windungen gewickelt (Bild 3).

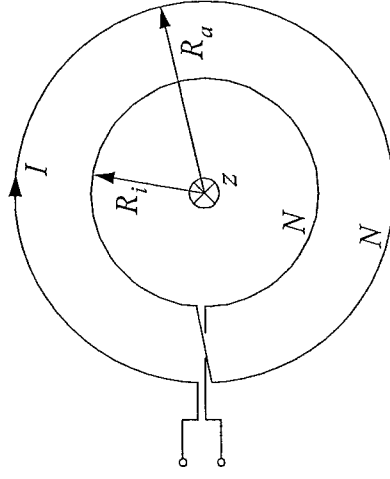


Bild 3

- Wie groß ist die magnetische Flussdichte \vec{B} für $\rho < R_i$ und für $R_i < \rho < R_a$?
- Berechnen Sie die verketteten Flüsse Ψ_i und Ψ_a der inneren und der äußeren Lage.

- Berechnen Sie mit dem Ergebnis aus b) die Induktivität der Spule.

Aufg. 27.1

a.) Beschleunigung des Elektrons zwischen den Gittern, d.h. eine Umwandlung potentieller Energie in kinetische Energie.

$$-e(U_e, \text{links} - U_e, \text{rechts}) = -e(-U) \stackrel{!}{=} \frac{1}{2} m v_0^2$$

$$\rightarrow v_0 = \sqrt{\frac{2eU}{m_0}} \quad \vec{v}_0 = v_0 \cdot \vec{e}_x$$

b.) Lorentzkraft \vec{F}_m bei $t=0+$:

$$\begin{aligned} \vec{F}_0 &= -e \cdot \vec{v}_0 \times \vec{B}_0 = -e v_0 \cdot B_0 \cdot (\vec{e}_x \times \vec{e}_z) \\ &= e v_0 B_0 \vec{e}_y \end{aligned}$$

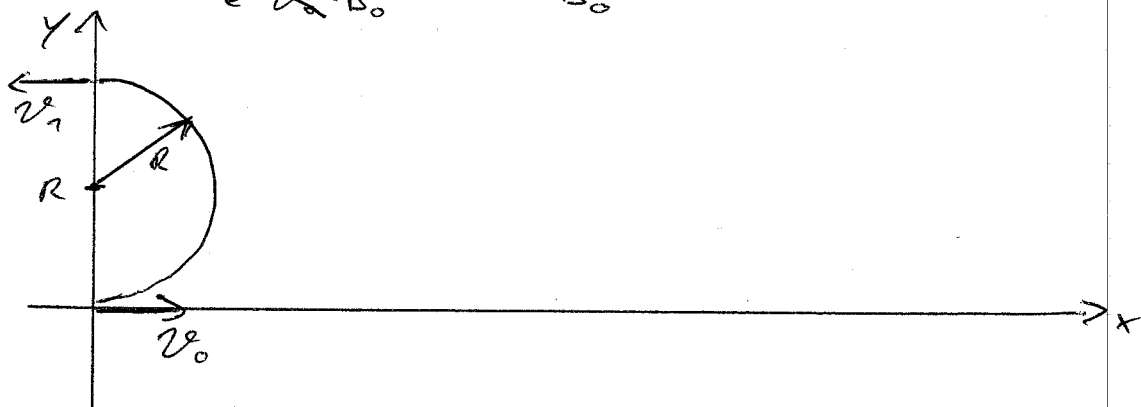
c.) Zur Erinnerung: $W_{\text{mech}} = \int \vec{F} \cdot d\vec{s}$

Da stets $\vec{F}_m \perp \vec{v}$, ändert sich nur die Richtung, aber nicht der Betrag d. Geschw. \vec{v} .

Weiterhin gilt: $F_m \sim v \cdot B_0 = \text{const}$
d.h. der Betrag der Zentripetal kraft ist konstant \Rightarrow die Bahn ist kreisförmig:

$$\vec{F}_Z \stackrel{!}{=} \vec{F}_m \quad \text{also} \quad \frac{m_0 v_0^2}{R} \stackrel{!}{=} e \cdot v_0 \cdot B_0$$

$$R = \frac{m_0 \cdot v_0^2}{e v_0 \cdot B_0} = \frac{m_0 v_0}{e B_0}$$



d.) Austritt aus dem Magnetfeld bei $x=0$,

$$y = 2R = 2 \frac{m_0 v_0}{e B_0}, \quad z=0$$

Austrittsgeschw. $\vec{v}_1 = -\vec{v}_0 = \sqrt{\frac{2 \cdot eU}{m_0}} \cdot (-\vec{e}_x)$

Flugzeit im Magnetfeld:

$$t_1 = \frac{\pi R}{v_0} = \frac{\pi m_0}{e B_0}$$

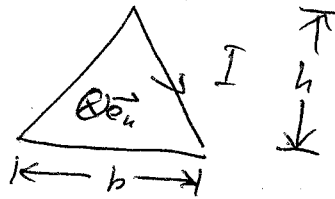
e.) Die kinetische Energie ändert sich nicht auf der Kreisbahn,

da stets $dW = \vec{F}_m \cdot d\vec{s} = 0$

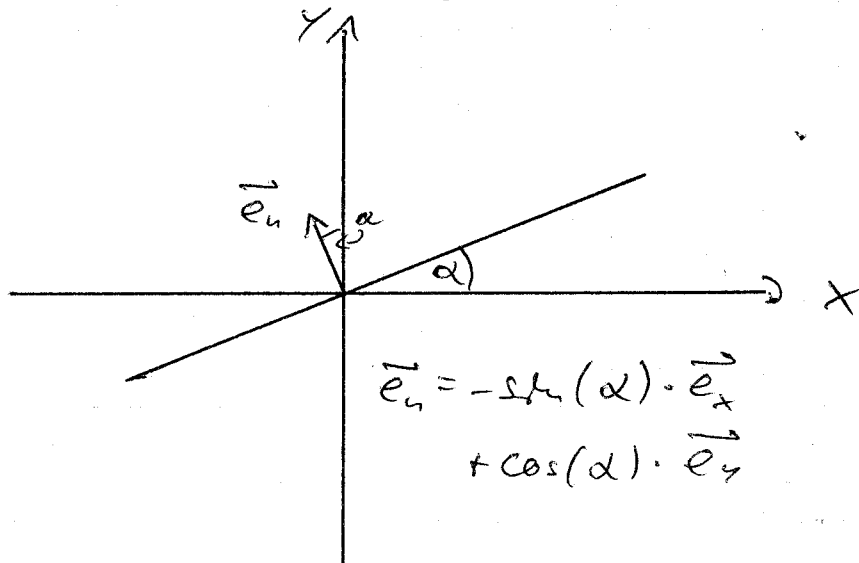
$$E_{kin}(t=t_1) = E_{kin}(t=t_0) = \frac{1}{2} m_0 v_0^2 = eU$$

Aufg. 29.)

Leiterschleife:



magn. Moment: $\vec{m} = A \cdot I \cdot \vec{e}_n$
 $= \frac{1}{2} b h \cdot I \vec{e}_n$



a.) $\vec{B} = B_0 \cdot \vec{e}_x$ ist homogen, daher gilt $\vec{L} = \vec{m} \times \vec{B}$

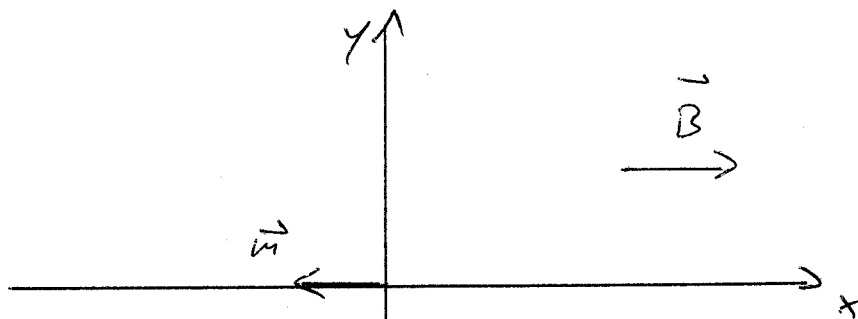
(hier: $L_z = L \cdot \vec{e}_z$)

$$\vec{L} = \frac{1}{2} b h I \cdot B_0 [(-\sin(\alpha) \cdot \vec{e}_x + \cos(\alpha) \vec{e}_y) \times \vec{e}_x]$$

$$= \frac{1}{2} b h I B_0 \cos(\alpha) (-\vec{e}_z)$$

\vec{m} wird in Richtung von \vec{B} gedreht.

b.) $L_z \stackrel{!}{=} 0 \Leftrightarrow \cos(\alpha) = 0$
 also $\alpha_1 = \frac{\pi}{2} \rightarrow \vec{m} \parallel \vec{B}$



$\alpha_2 = -\frac{\pi}{2} \rightarrow \vec{m} \parallel \vec{B}$

stabiles Gleichgewicht

klare Auslenkungen werden durch ein Gegen Drehmoment kompensiert:

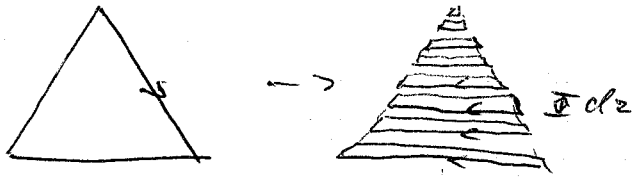
$L_z(\alpha) = 0$ und $\frac{d}{dx} L_z(\alpha) < 0$

$\frac{d}{dx} L_z(\alpha) = \frac{1}{2} b h \cdot \underbrace{I \cdot B_0}_{>0} \cdot \underbrace{\sin(\alpha)}_{<0}$

erfüllt für $\alpha_2 = -\frac{\pi}{2}$

c.) jetzt $\vec{B} \neq \text{const}$

Wenn man weiter mit $\vec{L} = \vec{m} \times \vec{B}$ rechnen will:



alle waagerechten Ströme im Inneren kompensieren sich in ihrer Wirkung gegenseitig

Ausatz:

1.) Unterteilung der Leiterschleife
in Wegstücke $d\vec{s}$

2.) Bestimmung der Teilkräfte
 $d\vec{F} = I \cdot d\vec{s} \times \vec{B}$

3.) Bestimmung der Teildrehmomente

$$d\vec{L} = \vec{r} \times d\vec{F}$$

Hebelarm
bzgl. der
Drehachse
hier: Ursprung

4.) Integration über alle Anteile $d\vec{L}$

5.) hier: alles von \vec{L} außer L_z wegstreichen,

$$\text{bzw. } L_z = \vec{L} \cdot \vec{e}_z$$

$$\text{Hebelarm: } \vec{r} = \rho \cdot \vec{e}_\rho + z \cdot \vec{e}_z$$

kein Beitrag zu L_z

$$\text{Wegen } \vec{e}_\rho \times \vec{e}_\phi = \vec{e}_z$$

trägt nur die Kraftkomponente dF_ϕ

zu L_z bei

jetzt gesucht: welche Komponenten von $d\vec{s}$ und \vec{B} tragen zu F_ϕ bei?

Wegen $\vec{e}_z \times \vec{e}_\phi = \vec{e}_r$ sind dies die beiden Kombinationen $ds_z \cdot B_\phi$
 oder $ds_\phi \cdot B_z$
 enthält, da \vec{B} keine z-Komponente hat

Auf den Scheiteln der Leiterschleifen ist $d\vec{s} = ds \cdot \vec{e}_\phi + dz \cdot \vec{e}_z$

Das Leitersstück der Dreiecksbasis (Länge b) trägt wegen ($d\vec{s} = ds \cdot \vec{e}_\phi$) nicht zu L_z bei.

d.) Umwandlung von \vec{B} in Zylinderkoordinaten:

$$\vec{B} = B_0 \cdot \left(1 + \frac{z}{h}\right) \cdot \vec{e}_x$$

$$= B_0 \cdot \left(1 + \frac{z}{h}\right) \cdot (\vec{e}_\phi \cdot \cos(\phi) - \vec{e}_r \cdot \sin(\phi))$$

$$d\vec{F}_\phi = I \cdot dz \cdot B_\phi = I \cdot dz \cdot B_0 \cdot \left(1 + \frac{z}{h}\right) \cos(\phi)$$

$$dL_z = \mathcal{G} \cdot dF_\phi$$

Auf den Scheiteln ist $\mathcal{G} = \mathcal{G}(z) = \frac{b}{2} \left(1 - \frac{z}{h}\right)$

$$dL_z = \frac{b}{2} \cdot \left(1 - \frac{z}{h}\right) \cdot I \cdot dz \cdot B_0 \cdot \left(1 + \frac{z}{h}\right) \cdot \cos(\phi)$$

e.) Begründung: siehe c.)

$$L_2 = \int_{z=0}^{z=h} dL_2 = -\frac{2}{3} \cdot h \cdot b \cdot I \cdot \mu_0 \cdot \cos(\alpha)$$

$$\vec{F} = I \cdot \vec{l} \times \vec{B}$$

HA: Aufg. 31 bis Di, 26.1.

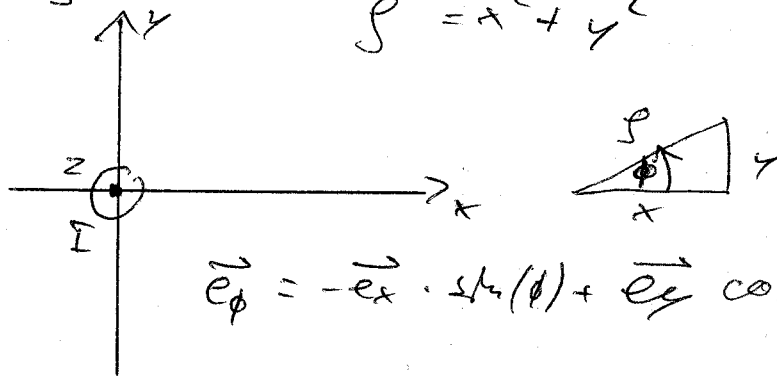
Aufg. 28.) vgl. Aufg. 16!

vgl. 4-49 ff

Nur ein Leiter in der z-Achse:

$$\vec{A} = \frac{I}{2\pi s} \cdot \vec{e}_\phi$$

$$s^2 = x^2 + y^2$$



$$\vec{e}_\phi = -\vec{e}_x \cdot \sin(\phi) + \vec{e}_y \cdot \cos(\phi)$$

$$\rightarrow \vec{A} = \frac{I}{2\pi(x^2+y^2)} \cdot (-\vec{e}_x \cdot y + \vec{e}_y \cdot x)$$

Verschiebung:

Ersetze I_0 durch I_1 und x durch $x+a$.

Ersetze I_0 durch I_2 und x durch $x-a$.

$$s_1^2 = (x+a)^2 + y^2; \quad s_2^2 = (x-a)^2 + y^2$$

(vgl. 4.5.48) Seite 4-50

$$\vec{A}_{\text{ges}} = \frac{I_1}{2\pi s_1^2} \cdot (-\vec{e}_x \cdot y + \vec{e}_y \cdot (x+a)) + \frac{I_2}{2\pi s_2^2} \cdot (-\vec{e}_x \cdot y + \vec{e}_y \cdot (x-a))$$

a.) Definitionen der Feldlinien:

$$d\vec{s} \parallel \vec{H} \Rightarrow d\vec{s} \times \vec{H} = 0$$

$$\begin{aligned} \text{Ebene: } d\vec{s} \times \vec{H} &= (dx \cdot \vec{e}_x + dy \cdot \vec{e}_y) \times (H_x \cdot \vec{e}_x + H_y \cdot \vec{e}_y) \\ &= (dx \cdot H_y - dy \cdot H_x) \cdot \vec{e}_z \stackrel{!}{=} 0 \end{aligned}$$

$$\Rightarrow dx \cdot H_y = dy \cdot H_x \quad \checkmark$$

vgl. Herleitung der E-Feldlinien

